# Red Multivaluada Estocástica para Optimización. Aplicación al Problema del MaxCut

Domingo López-Rodríguez<sup>1</sup>, Enrique Mérida-Casermeiro<sup>1</sup> & Juan M. Ortiz-de-Lazcano-Lobato<sup>2</sup>

 $^1$  Departamento de Matemática Aplicada  $^2$  Departamento de Lenguajes y Ciencias de la Computación E.T.S. Ingeniería Informática Universidad de Málaga email:  $^1\{{\tt dlopez,merida}\}{\tt @ctima.uma.es}$   $^2{\tt jmortiz@lcc.uma.es}$ 

MAEB, Febrero 2007



## Índice

- Introducción
- 2 El Modelo MREM Discreto
  - Implementación del Problema K-MaxCut.
  - Dinámica Best-2
- 3 El Modelo MREM Estocástico
  - Convergencia
- Resultados Experimentales
  - Ejemplos de Ejecución
  - Resultados de las Ejecuciones
- Conclusiones y Trabajo Futuro
  - Conclusiones
  - Trabajo Futuro





Dado un grafo no dirigido G = (V, E) ponderado en los ejes por  $C=(c_{i,i})$  con  $c_{i,i}\geq 0$ ,

El objetivo es obtener una partición de V en dos (K) subconjuntos de forma que se maximice el coste total de los ejes cuyos extremos están en distintos conjuntos de la partición.



Dado un grafo no dirigido G = (V, E) ponderado en los ejes por  $C = (c_{i,j})$  con  $c_{i,j} \ge 0$ ,

El objetivo es obtener una partición de V en dos (K) subconjuntos de forma que se maximice el coste total de los ejes cuyos extremos están en distintos conjuntos de la partición.

• En el caso general, NP-completo.



Dado un grafo no dirigido G = (V, E) ponderado en los ejes por  $C = (c_{i,j})$  con  $c_{i,j} \ge 0$ ,

El objetivo es obtener una partición de V en dos (K) subconjuntos de forma que se maximice el coste total de los ejes cuyos extremos están en distintos conjuntos de la partición.

- En el caso general, NP-completo.
- En el caso de que el grafo sea plano, el problema pertenece a
   P (se puede hallar una solución en tiempo polinómico).



Dado un grafo no dirigido G = (V, E) ponderado en los ejes por  $C = (c_{i,j})$  con  $c_{i,j} \ge 0$ ,

El objetivo es obtener una partición de V en dos (K) subconjuntos de forma que se maximice el coste total de los ejes cuyos extremos están en distintos conjuntos de la partición.

- En el caso general, NP-completo.
- En el caso de que el grafo sea plano, el problema pertenece a P (se puede hallar una solución en tiempo polinómico).

#### Aplicaciones:

• Clasificación y agrupamiento de datos,



Dado un grafo no dirigido G = (V, E) ponderado en los ejes por  $C = (c_{i,j})$  con  $c_{i,j} \ge 0$ ,

El objetivo es obtener una partición de V en dos (K) subconjuntos de forma que se maximice el coste total de los ejes cuyos extremos están en distintos conjuntos de la partición.

- En el caso general, NP-completo.
- En el caso de que el grafo sea plano, el problema pertenece a P (se puede hallar una solución en tiempo polinómico).

#### Aplicaciones:

- Clasificación y agrupamiento de datos,
- Reconocimiento de patrones,



Dado un grafo no dirigido G = (V, E) ponderado en los ejes por  $C = (c_{i,j})$  con  $c_{i,j} \ge 0$ ,

El objetivo es obtener una partición de V en dos (K) subconjuntos de forma que se maximice el coste total de los ejes cuyos extremos están en distintos conjuntos de la partición.

- En el caso general, NP-completo.
- En el caso de que el grafo sea plano, el problema pertenece a P (se puede hallar una solución en tiempo polinómico).

#### Aplicaciones:

- Clasificación y agrupamiento de datos,
- Reconocimiento de patrones,
- Diseño de redes de comunicaciones...





 En 1997, Alberti et al. presentaron una red tipo Hopfield para MaxCut.



- En 1997, Alberti et al. presentaron una red tipo Hopfield para MaxCut.
- En 1998, Bertoni et al. publicaron otra red con mejores resultados.



- En 1997, Alberti et al. presentaron una red tipo Hopfield para MaxCut.
- En 1998, Bertoni et al. publicaron otra red con mejores resultados.
- Takefuyi y sus colaboradores desarrollaron en 1996 el modelo neuronal maximum que obtenía buenos resultados sobre un amplio conjunto de problemas de optimización combinatorial.



- En 1997, Alberti et al. presentaron una red tipo Hopfield para MaxCut.
- En 1998, Bertoni et al. publicaron otra red con mejores resultados.
- Takefuyi y sus colaboradores desarrollaron en 1996 el modelo neuronal maximum que obtenía buenos resultados sobre un amplio conjunto de problemas de optimización combinatorial.
- En 2001, Galán Marín et al. propusieron el modelo OCHOM, que obtiene soluciones de forma más eficiente que 'maximum'.
   Es muy versátil y converge rápidamente a una solución válida sin necesidad de ajustar ningún parámetro.



- En 1997, Alberti et al. presentaron una red tipo Hopfield para MaxCut.
- En 1998, Bertoni et al. publicaron otra red con mejores resultados.
- Takefuyi y sus colaboradores desarrollaron en 1996 el modelo neuronal maximum que obtenía buenos resultados sobre un amplio conjunto de problemas de optimización combinatorial.
- En 2001, Galán Marín et al. propusieron el modelo OCHOM, que obtiene soluciones de forma más eficiente que 'maximum'.
   Es muy versátil y converge rápidamente a una solución válida sin necesidad de ajustar ningún parámetro.
- En 2004, Wang et al. propusieron una variante estocástica de OCHOM.

# Objetivo de Este Trabajo

 En 2005, propusimos el modelo neuronal MREM para resolver el problema de MaxCut. Además, permite hacer una K-partición del grafo como generalización natural de MaxCut.



# Objetivo de Este Trabajo

- En 2005, propusimos el modelo neuronal **MREM** para resolver el problema de MaxCut. Además, permite hacer una K-partición del grafo como generalización natural de MaxCut.
- En este trabajo presentamos una versión estocástica de MREM (**sMREM**) y su aplicación a MaxCut.



Este modelo clásico se caracteriza por:

• El estado de cada neurona viene caracterizado por su salida, pudiendo ser binaria  $(\{0,1\})$  o bipolar  $(\{-1,1\})$ .



- El estado de cada neurona viene caracterizado por su salida, pudiendo ser binaria  $(\{0,1\})$  o bipolar  $(\{-1,1\})$ .
- El estado de la red está determinado por la salida de sus N neuronas, es decir,  $\vec{S}(t) \in \{0,1\}^N$ , o  $\{-1,1\}^N$ ).



- El estado de cada neurona viene caracterizado por su salida, pudiendo ser binaria  $(\{0,1\})$  o bipolar  $(\{-1,1\})$ .
- El estado de la red está determinado por la salida de sus N neuronas, es decir,  $\vec{S}(t) \in \{0,1\}^N$ , o  $\{-1,1\}^N$ ).
- Todas las neuronas están conectadas entre sí. La conexión entre (i, j) entre las neuronas i y j tiene asociado un peso sináptico w<sub>i,j</sub>.



- El estado de cada neurona viene caracterizado por su salida, pudiendo ser binaria  $(\{0,1\})$  o bipolar  $(\{-1,1\})$ .
- El estado de la red está determinado por la salida de sus N neuronas, es decir,  $\vec{S}(t) \in \{0,1\}^N$ , o  $\{-1,1\}^N$ ).
- Todas las neuronas están conectadas entre sí. La conexión entre (i, j) entre las neuronas i y j tiene asociado un peso sináptico w<sub>i,j</sub>.
- Cada neurona tiene un umbral  $(\theta_i)$ .



- El estado de cada neurona viene caracterizado por su salida, pudiendo ser binaria  $(\{0,1\})$  o bipolar  $(\{-1,1\})$ .
- El estado de la red está determinado por la salida de sus N neuronas, es decir,  $\vec{S}(t) \in \{0,1\}^N$ , o  $\{-1,1\}^N$ ).
- Todas las neuronas están conectadas entre sí. La conexión entre (i, j) entre las neuronas i y j tiene asociado un peso sináptico w<sub>i,j</sub>.
- Cada neurona tiene un umbral  $(\theta_i)$ .
- Existe una función de energía:

$$E(\vec{S}) = -\frac{1}{2} \sum_{j=1}^{j=N} \sum_{i=1}^{i=N} w_{i,j} s_i s_j + \sum_{i=1}^{i=N} \theta_i$$



• La salida de la neurona puede tomar cualquier valor en un conjunto discreto  $\mathcal{M}$ .



- La salida de la neurona puede tomar cualquier valor en un conjunto discreto M.
- El estado de la neurona i está determinado por su salida  $s_i$ .



- La salida de la neurona puede tomar cualquier valor en un conjunto discreto M.
- El estado de la neurona i está determinado por su salida  $s_i$ .
- El estado de la red viene caracterizado por el **vector de** estado  $\vec{S} = (s_1, s_2, \dots, s_N) \in \mathcal{M}^N$ . (N es el número de neuronas)



- La salida de la neurona puede tomar cualquier valor en un conjunto discreto M.
- El estado de la neurona i está determinado por su salida  $s_i$ .
- El estado de la red viene caracterizado por el **vector de** estado  $\vec{S} = (s_1, s_2, \dots, s_N) \in \mathcal{M}^N$ . (N es el número de neuronas)
- Existe una función de energía  $E: \mathcal{M}^N \to \mathbb{R}$

$$E(\vec{S}) = \frac{1}{2} \sum_{i=1}^{N} \sum_{j=1}^{N} w_{i,j} f(s_i, s_j)$$



- La salida de la neurona puede tomar cualquier valor en un conjunto discreto M.
- El estado de la neurona i está determinado por su salida  $s_i$ .
- El estado de la red viene caracterizado por el **vector de** estado  $\vec{S} = (s_1, s_2, \dots, s_N) \in \mathcal{M}^N$ . (N es el número de neuronas)
- Existe una función de energía  $E: \mathcal{M}^N \to \mathbb{R}$

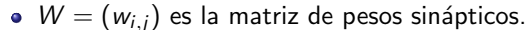
$$E(\vec{S}) = \frac{1}{2} \sum_{i=1}^{N} \sum_{j=1}^{N} w_{i,j} f(s_i, s_j)$$

•  $W = (w_{i,j})$  es la matriz de pesos sinápticos.



- La salida de la neurona puede tomar cualquier valor en un conjunto discreto M.
- El estado de la neurona i está determinado por su salida  $s_i$ .
- El estado de la red viene caracterizado por el **vector de** estado  $\vec{S} = (s_1, s_2, \dots, s_N) \in \mathcal{M}^N$ . (N es el número de neuronas)
- Existe una **función de energía**  $E: \mathcal{M}^N \to \mathbb{R}$

$$E(\vec{S}) = \frac{1}{2} \sum_{i=1}^{N} \sum_{j=1}^{N} w_{i,j} f(s_i, s_j)$$



• f es una función de similitud.



#### **MREM**

**Dinámica**: La red evoluciona de forma que decrezca el valor de la función de energía. Son posibles diversas dinámicas. Se elegirá la más adecuada al problema que se esté estudiando.



#### Table of contents

- Introducción
- 2 El Modelo MREM Discreto
  - Implementación del Problema K-MaxCut.
  - Dinámica Best-2
- 3 El Modelo MREM Estocástico
  - Convergencia
- Resultados Experimentales
  - Ejemplos de Ejecución
  - Resultados de las Ejecuciones
- Conclusiones y Trabajo Futuro
  - Conclusiones
  - Trabajo Futuro





## Implementación del Problema K-MaxCut con MREM.

Si identificamos la función de coste de K-MaxCut:

$$\sum_{v_i \in A_m, v_j \in A_n, i > j, m \neq n} c_{i,j}$$

con la función de energía de MREM:

$$E(\vec{S}) = \frac{1}{2} \sum_{i=1}^{N} \sum_{i=1}^{N} w_{i,j} f(s_i, s_j)$$

obtenemos  $w_{i,j} = c_{i,j}$  y  $f(x,y) = \delta_{x,y}$  (delta de Kronecker) {Maximizar el coste de los ejes cortados por la partición}  $\equiv$  {Minimizar el coste de los ejes cuyos extremos están en el mismo conjunto de la partición}



#### Table of contents

- Introducción
- 2 El Modelo MREM Discreto
  - Implementación del Problema K-MaxCut.
  - Dinámica Best-2
- 3 El Modelo MREM Estocástico
  - Convergencia
- Resultados Experimentales
  - Ejemplos de Ejecución
  - Resultados de las Ejecuciones
- Conclusiones y Trabajo Futuro
  - Conclusiones
  - Trabajo Futuro





1 El estado inicial se elige aleatoriamente.



- 1 El estado inicial se elige aleatoriamente.
- Repetir hasta que no haya cambios en el vector de estado:



- 1 El estado inicial se elige aleatoriamente.
- Repetir hasta que no haya cambios en el vector de estado:
  - El scheduling (controlador) selecciona un valor  $d \in \{1, \dots, \lfloor \frac{N}{2} \rfloor \}$ .



- 1 El estado inicial se elige aleatoriamente.
- 2 Repetir hasta que no haya cambios en el vector de estado:
  - El scheduling (controlador) selecciona un valor  $d \in \{1, \dots, \lfloor \frac{N}{2} \rfloor \}$ .
  - En paralelo, cada neurona p estudia todas las posibilidades de actualizarse ella misma junto con la neurona q = (p + d) mod (N), con  $0 < q \le N$ .



- 1 El estado inicial se elige aleatoriamente.
- Repetir hasta que no haya cambios en el vector de estado:
  - El scheduling (controlador) selecciona un valor  $d \in \{1, \dots, \lfloor \frac{N}{2} \rfloor \}$ .
  - En paralelo, cada neurona p estudia todas las posibilidades de actualizarse ella misma junto con la neurona q = (p + d) mod (N), con  $0 < q \le N$ .
  - De esta forma, p calcula la matriz de potencial  $U_p$  con  $K \times K$  componentes.



- 1 El estado inicial se elige aleatoriamente.
- 2 Repetir hasta que no haya cambios en el vector de estado:
  - El scheduling (controlador) selecciona un valor  $d \in \{1, \dots, \lfloor \frac{N}{2} \rfloor \}$ .
  - En paralelo, cada neurona p estudia todas las posibilidades de actualizarse ella misma junto con la neurona q = (p + d) mod (N), con  $0 < q \le N$ .
  - De esta forma, p calcula la matriz de potencial  $U_p$  con  $K \times K$  componentes.
  - $(U_p)_{(i,j)}$  se asocia al decremento de energía correspondiente a la actualización  $s_p = i$ ,  $s_q = j$ .





# Dinámica Best-2 (cont.)

• Usaremos la siguiente expresión:

$$U_p = -\Delta E = \sum_{i=1}^{N} (\Delta_{i,p} + \Delta_{i,q}) - \Delta_{p,q} \text{ donde}$$
  
 $\Delta_{i,j} = w_{i,j} (f(s_i, s_j) - f(s_i', s_j')), s_i(t) = s_i, s_i(t+1) = s_i'.$ 



# Dinámica Best-2 (cont.)

• Usaremos la siguiente expresión:

$$U_p = -\Delta E = \sum_{i=1}^{N} (\Delta_{i,p} + \Delta_{i,q}) - \Delta_{p,q} \text{ donde}$$
  
 $\Delta_{i,j} = w_{i,j} (f(s_i, s_j) - f(s_i', s_j')), s_i(t) = s_i, s_i(t+1) = s_i'.$ 

• La neurona p calcula  $\alpha(p)=\max_{i,j}U_p$ , el máximo potencial, asociado a  $\widetilde{\widetilde{S}}_{p=i;q=j}\equiv \widetilde{S}_p$ .



# Dinámica Best-2 (cont.)

• Usaremos la siguiente expresión:

$$U_p = -\Delta E = \sum_{i=1}^{N} (\Delta_{i,p} + \Delta_{i,q}) - \Delta_{p,q} \text{ donde}$$
  
 $\Delta_{i,j} = w_{i,j} (f(s_i, s_j) - f(s_i', s_j')), s_i(t) = s_i, s_i(t+1) = s_i'.$ 

- La neurona p calcula  $\alpha(p)=\max_{i,j}U_p$ , el máximo potencial, asociado a  $\widetilde{\widetilde{S}}_{p=i;q=j}\equiv \widetilde{S}_p$ .
- El controlador selecciona el siguiente estado de la red:

$$ec{S}(t+1) = ec{\widetilde{S}}_p$$
 para el cual  $p = \operatorname{arg\,máx}_{ec{lpha}}.$ 



Tiene la misma arquitectura que MREM y está basada en la misma función de energía. Pero ahora el siguiente estado de la red dependerá de una sucesión decreciente  $\{T_n\}$ , de igual forma que el Enfriamiento Estadístico (Simulated Annealing). Su dinámica consiste en:

• Se genera aleatoriamente el estado inicial  $S_1^{(1)}$ .



Tiene la misma arquitectura que MREM y está basada en la misma función de energía. Pero ahora el siguiente estado de la red dependerá de una sucesión decreciente  $\{T_n\}$ , de igual forma que el Enfriamiento Estadístico (Simulated Annealing).

- Se genera aleatoriamente el estado inicial  $S_1^{(1)}$ .
- Dado un estado  $\vec{S}$ , se elige otro estado  $\vec{S'}$  dentro de un entorno  $\mathcal{N}_{\vec{S}}$  de  $\vec{S}$ .



Tiene la misma arquitectura que MREM y está basada en la misma función de energía. Pero ahora el siguiente estado de la red dependerá de una sucesión decreciente  $\{T_n\}$ , de igual forma que el Enfriamiento Estadístico (Simulated Annealing).

- Se genera aleatoriamente el estado inicial  $S_1^{(1)}$ .
- Dado un estado  $\vec{S}$ , se elige otro estado  $\vec{S'}$  dentro de un entorno  $\mathcal{N}_{\vec{S}}$  de  $\vec{S}$ .
- Se calcula el incremento de energía  $\Delta E = E(\vec{S'}) E(\vec{S})$ .



Tiene la misma arquitectura que MREM y está basada en la misma función de energía. Pero ahora el siguiente estado de la red dependerá de una sucesión decreciente  $\{T_n\}$ , de igual forma que el Enfriamiento Estadístico (Simulated Annealing).

- Se genera aleatoriamente el estado inicial  $S_1^{(1)}$ .
- Dado un estado  $\vec{S}$ , se elige otro estado  $\vec{S'}$  dentro de un entorno  $\mathcal{N}_{\vec{S}}$  de  $\vec{S}$ .
- Se calcula el incremento de energía  $\Delta E = E(\vec{S'}) E(\vec{S})$ .
- La red aceptará el nuevo estado  $\vec{S'}$  con probabilidad  $\mathbb{P}(\Delta E)$ , dependiente de  $\mathcal{T}_n$ .



Tiene la misma arquitectura que MREM y está basada en la misma función de energía. Pero ahora el siguiente estado de la red dependerá de una sucesión decreciente  $\{T_n\}$ , de igual forma que el Enfriamiento Estadístico (Simulated Annealing).

- Se genera aleatoriamente el estado inicial  $S_1^{(1)}$ .
- Dado un estado  $\vec{S}$ , se elige otro estado  $\vec{S'}$  dentro de un entorno  $\mathcal{N}_{\vec{S}}$  de  $\vec{S}$ .
- Se calcula el incremento de energía  $\Delta E = E(\vec{S'}) E(\vec{S})$ .
- La red aceptará el nuevo estado  $\vec{S'}$  con probabilidad  $\mathbb{P}(\Delta E)$ , dependiente de  $T_n$ .
- Este proceso se repite M veces por cada valor de  $T_n$ .





#### Table of contents

- Introducción
- 2 El Modelo MREM Discreto
  - Implementación del Problema K-MaxCut.
  - Dinámica Best-2
- 3 El Modelo MREM Estocástico
  - Convergencia
- 4 Resultados Experimentales
  - Ejemplos de Ejecución
  - Resultados de las Ejecuciones
- **5** Conclusiones y Trabajo Futuro
  - Conclusiones
  - Trabajo Futuro





Estas dos condiciones garantizan la convergencia a estados de mínima energía:



$$\mathbb{P}\left(\mathsf{E}(\vec{S}_{\mathsf{m}+1}^{(\mathsf{n})}) > \mathsf{E}(\vec{S}_{\mathsf{m}}^{(\mathsf{n})})\right) = 0, \forall \mathsf{m} \in \{1, 2, \dots, \mathsf{M}-1\}$$



Estas dos condiciones garantizan la convergencia a estados de mínima energía:

1

$$\mathbb{P}\left(\mathsf{E}(\vec{S}_{\mathsf{m}+1}^{(n)}) > \mathsf{E}(\vec{S}_{\mathsf{m}}^{(n)})\right) = 0, \forall \mathsf{m} \in \{1, 2, \dots, \mathsf{M}-1\}$$

② La probabilidad de aceptación de  $\vec{S'}$  como  $\vec{S}_{m+1}^{(n)}$  es de la forma:

$$\mathbb{P}(\Delta \mathsf{E}) = \left\{ \begin{array}{ll} 1, & \text{si } \Delta \mathsf{E} < 0 \\ g_{\mathsf{n}}(\Delta \mathsf{E}) < 1, & \text{si } \Delta \mathsf{E} \geq 0 \end{array} \right.$$



Estas dos condiciones garantizan la convergencia a estados de mínima energía:

1

$$\mathbb{P}\left(\mathsf{E}(\vec{S}_{\mathsf{m}+1}^{(n)}) > \mathsf{E}(\vec{S}_{\mathsf{m}}^{(n)})\right) = 0, \forall \mathsf{m} \in \{1, 2, \dots, \mathsf{M}-1\}$$

② La probabilidad de aceptación de  $\vec{S'}$  como  $\vec{S}_{m+1}^{(n)}$  es de la forma:

$$\mathbb{P}(\Delta \mathsf{E}) = \left\{ \begin{array}{ll} 1, & \text{si } \Delta \mathsf{E} < 0 \\ \mathsf{g}_\mathsf{n}(\Delta \mathsf{E}) < 1, & \text{si } \Delta \mathsf{E} \geq 0 \end{array} \right.$$

donde  $g_n(x) > 0 \,\forall x$  y depende de  $T_n$ .



Estas dos condiciones garantizan la convergencia a estados de mínima energía:

1

$$\mathbb{P}\left(\mathsf{E}(\vec{S}_{\mathsf{m}+1}^{(\mathsf{n})}) > \mathsf{E}(\vec{S}_{\mathsf{m}}^{(\mathsf{n})})\right) = 0, \forall \mathsf{m} \in \{1, 2, \dots, \mathsf{M}-1\}$$

② La probabilidad de aceptación de  $\vec{S}'$  como  $\vec{S}_{m+1}^{(n)}$  es de la forma:

$$\mathbb{P}(\Delta \mathsf{E}) = \left\{ \begin{array}{ll} 1, & \text{si } \Delta \mathsf{E} < 0 \\ \mathsf{g}_\mathsf{n}(\Delta \mathsf{E}) < 1, & \text{si } \Delta \mathsf{E} \geq 0 \end{array} \right.$$

donde  $g_n(x) > 0 \,\forall x$  y depende de  $T_n$ .

Se puede probar que si  $\{g_n\}$  converge uniformemente a 0, entonces la segunda condición implica la primera.



# Notas sobre Convergencia

Varios teoremas demuestran la convergencia del modelo MREM Estocástico, con el esquema de muestreo-aceptación aquí propuesto, a un mínimo local de la función de energía *E*.

Esta convergencia no depende de la tasa de convergencia de la sucesión  $\{T_n\}$  y sólo depende de la convergencia de  $\{||\mathbf{g}_n||\}$  a 0.



ma

#### Table of contents

- Introducción
- 2 El Modelo MREM Discreto
  - Implementación del Problema K-MaxCut.
  - Dinámica Best-2
- 3 El Modelo MREM Estocástico
  - Convergencia
- Resultados Experimentales
  - Ejemplos de Ejecución
  - Resultados de las Ejecuciones
- Conclusiones y Trabajo Futuro
  - Conclusiones
  - Trabajo Futuro





Para probar este método, se han generado 280 grafos aleatorios basados en los siguientes parámetros:

• El número de vértices en el grafo  $N \in \{20, 50, 100, 150, 200\}$ .



Para probar este método, se han generado 280 grafos aleatorios basados en los siguientes parámetros:

- El número de vértices en el grafo  $N \in \{20, 50, 100, 150, 200\}$ .
- La densidad de ejes en el grafo  $\rho \in \{0.05; 0.15; 0.25; 0.5; 0.75; 0.9\}.$



Para probar este método, se han generado 280 grafos aleatorios basados en los siguientes parámetros:

- El número de vértices en el grafo  $N \in \{20, 50, 100, 150, 200\}.$
- La densidad de ejes en el grafo  $\rho \in \{0.05; 0.15; 0.25; 0.5; 0.75; 0.9\}.$
- Los costes para los ejes se eligieron aleatoriamente en  $\{1,\ldots,10\}$ .  $(\{1,\ldots,5\}$  para los grafos de la Tabla 1)



Para probar este método, se han generado 280 grafos aleatorios basados en los siguientes parámetros:

- El número de vértices en el grafo  $N \in \{20, 50, 100, 150, 200\}$ .
- La densidad de ejes en el grafo  $\rho \in \{0.05; 0.15; 0.25; 0.5; 0.75; 0.9\}.$
- Los costes para los ejes se eligieron aleatoriamente en  $\{1,\ldots,10\}$ .  $(\{1,\ldots,5\}$  para los grafos de la Tabla 1)

Para cada grafo se realizaron 10 ejecuciones independientes. Consideramos K=2 (bipartición), K=3 y K=4.



#### Table of contents

- Introducción
- 2 El Modelo MREM Discreto
  - Implementación del Problema K-MaxCut.
  - Dinámica Best-2
- 3 El Modelo MREM Estocástico
  - Convergencia
- 4 Resultados Experimentales
  - Ejemplos de Ejecución
  - Resultados de las Ejecuciones
- Conclusiones y Trabajo Futuro
  - Conclusiones
  - Trabajo Futuro





|     |      | MREM   | MREM(best-2) |        | OCHOM   |        | Wang    |  |
|-----|------|--------|--------------|--------|---------|--------|---------|--|
| N   | ρ    | Opt    | Med          | Opt    | Med     | Opt    | Med     |  |
| 20  | 0.05 | 42.9   | 42.79        | 42.9   | 42.11   | 42.9   | 31.51   |  |
|     | 0.25 | 49     | 48.71        | 48.7   | 47.95   | 49     | 35.06   |  |
|     | 0.50 | 54.8   | 54.42        | 54.8   | 53.26   | 53.9   | 37.77   |  |
|     | 0.75 | 60.7   | 60.02        | 60.7   | 59.06   | 60.7   | 40.88   |  |
|     | 0.90 | 64.4   | 63.93        | 63.9   | 62.84   | 64.2   | 46.45   |  |
|     | 0.05 | 51.1   | 50.85        | 51.1   | 50.1    | 51     | 38.95   |  |
|     | 0.25 | 86.8   | 85.63        | 86.1   | 83.59   | 86.7   | 51.98   |  |
| 50  | 0.50 | 120.3  | 119.26       | 120.3  | 117.94  | 120.1  | 92.67   |  |
|     | 0.75 | 154.3  | 152.73       | 153.5  | 150.78  | 154.3  | 109.52  |  |
|     | 0.90 | 173.7  | 171.62       | 173.4  | 171.11  | 171.9  | 82.24   |  |
|     | 0.05 | 80.4   | 79.34        | 79     | 77      | 78.8   | 57.72   |  |
|     | 0.25 | 207.1  | 203.79       | 207.4  | 201.52  | 202.5  | 143.26  |  |
| 100 | 0.50 | 345.7  | 342.92       | 345    | 340.5   | 345    | 182.03  |  |
|     | 0.75 | 475    | 471.45       | 475    | 468.29  | 473.6  | 333.03  |  |
|     | 0.90 | 534    | 532.03       | 535.6  | 529.86  | 531.2  | 323.28  |  |
| 150 | 0.05 | 127.9  | 126.16       | 124.5  | 121.95  | 125.2  | 101.6   |  |
|     | 0.25 | 386.5  | 382.89       | 384.3  | 377.76  | 380.2  | 267.08  |  |
|     | 0.50 | 690.6  | 685.03       | 688.6  | 683.1   | 686.8  | 416.94  |  |
|     | 0.75 | 990.1  | 985.56       | 990    | 985.92  | 990.1  | 599.64  |  |
|     | 0.90 | 1157.1 | 1153.15      | 1154.3 | 1150.67 | 1148.8 | 694.86  |  |
| 200 | 0.05 | 194.7  | 192.32       | 192.9  | 187.15  | 192.6  | 163.5   |  |
|     | 0.25 | 6075   | 6009         | 6020   | 5966.7  | 6052   | 2413.2  |  |
|     | 0.50 | 11260  | 11194.7      | 11269  | 11206.7 | 11113  | 6667.8  |  |
|     | 0.75 | 16650  | 16579.5      | 16599  | 16529.1 | 16498  | 13198.4 |  |
|     | 0.90 | 19625  | 19520.8      | 19555  | 19439.5 | 19430  | 9715    |  |



Resultados comparativos para 2-MaxCut

• sMREM usa 
$$0 \le n \le n_a = 5$$
 y  $T_n = 1 - \frac{n}{n_a}$ .



- sMREM usa  $0 \le n \le n_a = 5$  y  $T_n = 1 \frac{n}{n_a}$ .
- Tomamos M = 20.



- sMREM usa  $0 \le n \le n_a = 5$  y  $T_n = 1 \frac{n}{n_a}$ .
- Tomamos M = 20.
- d se selecciona de forma decreciente desde  $\lfloor \frac{N}{2} \rfloor$  a 1.



- sMREM usa  $0 \le n \le n_a = 5$  y  $T_n = 1 \frac{n}{n_a}$ .
- Tomamos M = 20.
- d se selecciona de forma decreciente desde  $\lfloor \frac{N}{2} \rfloor$  a 1.
- La neurona p que se actualiza se selecciona al azar y  $q = p + d \mod (N)$ .



- sMREM usa  $0 \le n \le n_a = 5$  y  $T_n = 1 \frac{n}{n_a}$ .
- Tomamos M = 20.
- d se selecciona de forma decreciente desde  $\lfloor \frac{N}{2} \rfloor$  a 1.
- La neurona p que se actualiza se selecciona al azar y  $q = p + d \mod (N)$ .
- Se selecciona un estado  $\tilde{\vec{S}}_p$  con probabilidad proporcional a  $\exp((U_p)_{i,j})$  ( $U_p$  es la matriz con todos los posibles decrementos de energía si se actualizan p y q).



- sMREM usa  $0 \le n \le n_a = 5$  y  $T_n = 1 \frac{n}{n_a}$ .
- Tomamos M = 20.
- d se selecciona de forma decreciente desde  $\lfloor \frac{N}{2} \rfloor$  a 1.
- La neurona p que se actualiza se selecciona al azar y  $q = p + d \mod (N)$ .
- Se selecciona un estado  $\vec{\widetilde{S}}_p$  con probabilidad proporcional a  $\exp((U_p)_{i,j})$  ( $U_p$  es la matriz con todos los posibles decrementos de energía si se actualizan p y q).
- Si  $\Delta E < 0$ , se acepta el estado  $\widetilde{S}_p$ , de otra forma, ese estado se acepta con probabilidad

$$g_n(\Delta E) = exp\left(-\frac{\Delta E}{T_n}\right)$$



|     |      | MREM    |          |      | sMREM   |          |       |  |
|-----|------|---------|----------|------|---------|----------|-------|--|
| N   | ρ    | Opt     | Med.     | t    | Opt     | Med.     | t     |  |
| 50  | 0.05 | 276.8   | 256.28   | 0.05 | 276.8   | 256.8    | 1.31  |  |
| 50  | 0.15 | 672.8   | 631.56   | 0.06 | 687.2   | 637.2    | 1.37  |  |
| 50  | 0.25 | 1013.2  | 970.84   | 0.06 | 1020.4  | 971.24   | 1.32  |  |
| 50  | 0.5  | 1778.8  | 1724.08  | 0.06 | 1774.4  | 1729.26  | 1.29  |  |
| 50  | 0.75 | 2663.6  | 2475.48  | 0.05 | 2646.4  | 2476.92  | 1.34  |  |
| 50  | 0.9  | 2941.8  | 2876.18  | 0.06 | 2949.2  | 2883.94  | 1.33  |  |
| 100 | 0.05 | 990.2   | 917.72   | 0.15 | 971.2   | 920.68   | 5.58  |  |
| 100 | 0.15 | 2384.4  | 2323.9   | 0.16 | 2408.6  | 2340.46  | 5.54  |  |
| 100 | 0.25 | 3719.2  | 3620.9   | 0.14 | 3720.8  | 3646.9   | 5.28  |  |
| 100 | 0.5  | 6711.6  | 6637.08  | 0.13 | 6745.6  | 6683.9   | 5.41  |  |
| 100 | 0.75 | 9816.2  | 9524.1   | 0.14 | 9813.4  | 9581.22  | 5.21  |  |
| 100 | 0.9  | 11348.8 | 11215.06 | 0.14 | 11434.4 | 11254.66 | 5.29  |  |
| 150 | 0.05 | 2009.8  | 1933.6   | 0.26 | 2020.2  | 1939.86  | 14.48 |  |
| 150 | 0.15 | 5136    | 5014.62  | 0.26 | 5120.4  | 5066.62  | 13.85 |  |
| 150 | 0.25 | 7990    | 7807.16  | 0.26 | 8068.2  | 7868.72  | 12.84 |  |
| 150 | 0.5  | 14701.4 | 14531.06 | 0.24 | 14818   | 14661.4  | 12.61 |  |
| 150 | 0.75 | 21126.2 | 20899.94 | 0.22 | 21308.6 | 21018.06 | 12.58 |  |
| 150 | 0.9  | 24926   | 24589.62 | 0.22 | 25056   | 24729.68 | 12.05 |  |
| 200 | 0.05 | 3411.4  | 3321.84  | 0.38 | 3443.8  | 3340.26  | 27.58 |  |
| 200 | 0.15 | 8765.4  | 8653.52  | 0.42 | 8873.6  | 8726.9   | 25.51 |  |
| 200 | 0.25 | 13741   | 13533.9  | 0.35 | 13959.4 | 13707.9  | 24.24 |  |
| 200 | 0.5  | 25750.8 | 25500.18 | 0.34 | 25967.2 | 25740.64 | 22.41 |  |
| 200 | 0.75 | 37038.6 | 36789.2  | 0.32 | 37217.8 | 37063.42 | 22.04 |  |
| 200 | 0.9  | 43584.8 | 43296.26 | 0.33 | 43854.8 | 43527.38 | 23.17 |  |

Resultados comparativos para 2-MaxCut



|     |      | MREM    |          |      | sMREM   |          |       |  |
|-----|------|---------|----------|------|---------|----------|-------|--|
| N   | ρ    | Opt     | Med.     | t    | Opt     | Med.     | t     |  |
| 50  | 0.05 | 303     | 276.4    | 0.1  | 302.6   | 276.4    | 2.13  |  |
| 50  | 0.15 | 828     | 791.88   | 0.15 | 833.8   | 793.04   | 2.43  |  |
| 50  | 0.25 | 1295.4  | 1228.38  | 0.14 | 1303    | 1228.1   | 2.44  |  |
| 50  | 0.5  | 2371.4  | 2270.16  | 0.15 | 2366.6  | 2271.5   | 2.44  |  |
| 50  | 0.75 | 3351.8  | 3245.92  | 0.14 | 3350.2  | 3249.74  | 2.5   |  |
| 50  | 0.9  | 3907    | 3738.98  | 0.15 | 3913.4  | 3749.02  | 2.45  |  |
| 100 | 0.05 | 1181.2  | 1084.34  | 0.32 | 1183    | 1085.46  | 10.6  |  |
| 100 | 0.15 | 3130.8  | 2989.16  | 0.36 | 3149.8  | 2992.54  | 10.71 |  |
| 100 | 0.25 | 4698.8  | 4645.64  | 0.36 | 4705.8  | 4651.4   | 10.45 |  |
| 100 | 0.5  | 8833.2  | 8684.56  | 0.32 | 8872.4  | 8719.46  | 9.36  |  |
| 100 | 0.75 | 12758.2 | 12491.74 | 0.34 | 12792.4 | 12508.1  | 9.63  |  |
| 100 | 0.9  | 14921.4 | 14695.6  | 0.33 | 14948.8 | 14729.94 | 9.76  |  |
| 150 | 0.05 | 2472    | 2390.54  | 0.63 | 2484.2  | 2388.3   | 27.51 |  |
| 150 | 0.15 | 6564.6  | 6434.82  | 0.66 | 6574.6  | 6453.42  | 29.81 |  |
| 150 | 0.25 | 10463.4 | 10176.84 | 0.57 | 10494.6 | 10203.08 | 26.53 |  |
| 150 | 0.5  | 19274.8 | 19057.42 | 0.53 | 19363.6 | 19153.9  | 23.67 |  |
| 150 | 0.75 | 27829.4 | 27599.96 | 0.55 | 27974.2 | 27741.5  | 22.26 |  |
| 150 | 0.9  | 32846.8 | 32498.44 | 0.63 | 32925.6 | 32611.28 | 22.96 |  |
| 200 | 0.05 | 4360    | 4212     | 0.97 | 4375.8  | 4216.9   | 52.46 |  |
| 200 | 0.15 | 11353   | 11146.58 | 1.01 | 11429.8 | 11165.36 | 53.82 |  |
| 200 | 0.25 | 17967.8 | 17716.1  | 0.94 | 18102.4 | 17808.84 | 46.85 |  |
| 200 | 0.5  | 33712.8 | 33479.64 | 0.93 | 33883.2 | 33675.92 | 43.66 |  |
| 200 | 0.75 | 49103   | 48584.72 | 0.95 | 49334.6 | 48808.88 | 44.27 |  |
| 200 | 0.9  | 57865.8 | 57533.02 | 0.89 | 58249.6 | 57743.24 | 44.85 |  |

Resultados comparativos para 3-MaxCut



|     |      | MREM    |          |      | sMREM   |          |       |  |
|-----|------|---------|----------|------|---------|----------|-------|--|
| N   | ρ    | Opt     | Med.     | t    | Opt     | Med.     | t     |  |
| 50  | 0.05 | 306     | 281      | 0.17 | 306     | 281      | 3.25  |  |
| 50  | 0.15 | 877.8   | 817.3    | 0.24 | 879     | 817.18   | 3.83  |  |
| 50  | 0.25 | 1372.8  | 1314.26  | 0.29 | 1372.2  | 1315.62  | 4.49  |  |
| 50  | 0.5  | 2611.4  | 2500.92  | 0.27 | 2606.6  | 2501.84  | 4.01  |  |
| 50  | 0.75 | 3691.8  | 3609.52  | 0.27 | 3685    | 3609.36  | 4.07  |  |
| 50  | 0.9  | 4313.4  | 4184.84  | 0.27 | 4314.6  | 4184.96  | 4.12  |  |
| 100 | 0.05 | 1190.8  | 1121.12  | 0.43 | 1191.4  | 1121.38  | 13.82 |  |
| 100 | 0.15 | 3236    | 3158.6   | 0.72 | 3240    | 3161.56  | 18.08 |  |
| 100 | 0.25 | 5250.2  | 5127.06  | 0.7  | 5259    | 5136.6   | 19.82 |  |
| 100 | 0.5  | 9803.6  | 9621.48  | 0.69 | 9817.8  | 9637.76  | 16.14 |  |
| 100 | 0.75 | 14083.4 | 13886.32 | 0.61 | 14082   | 13907.98 | 17.68 |  |
| 100 | 0.9  | 16640.2 | 16426.72 | 0.69 | 16651   | 16441.38 | 17.74 |  |
| 150 | 0.05 | 2590.2  | 2511.96  | 1    | 2596.6  | 2512.4   | 40.81 |  |
| 150 | 0.15 | 7126    | 6993.94  | 1.28 | 7097.8  | 6985.3   | 46.8  |  |
| 150 | 0.25 | 11466   | 11141.7  | 1.25 | 11499.8 | 11143.42 | 46.76 |  |
| 150 | 0.5  | 21439.4 | 21203.94 | 1.11 | 21513.4 | 21230.16 | 42.37 |  |
| 150 | 0.75 | 31254.8 | 30843.96 | 1.17 | 31291.6 | 30896.64 | 37.86 |  |
| 150 | 0.9  | 36698   | 36473.34 | 1.12 | 36749.2 | 36533.94 | 39.46 |  |
| 200 | 0.05 | 4503.4  | 4407.62  | 1.8  | 4517.8  | 4407.98  | 87.3  |  |
| 200 | 0.15 | 12469.6 | 12289.82 | 1.92 | 12495.4 | 12304.4  | 89.73 |  |
| 200 | 0.25 | 19997.2 | 19566.3  | 1.85 | 19990.4 | 19586.06 | 79.62 |  |
| 200 | 0.5  | 37621.4 | 37157.58 | 1.69 | 37764   | 37261.42 | 74.45 |  |
| 200 | 0.75 | 54646   | 54277.62 | 1.61 | 54855.2 | 54438.5  | 68.9  |  |
| 200 | 0.9  | 64819.6 | 64298.8  | 1.8  | 64950.2 | 64441.94 | 71.52 |  |

Resultados comparativos para 4-MaxCut



 Galán, G. & Muñoz, J. propusieron el modelo OCHOM. (IEEE. Trans. Neural Network,2001)



- Galán, G. & Muñoz, J. propusieron el modelo OCHOM. (IEEE. Trans. Neural Network,2001)
- Wang et al. desarrollaron una versión estocástica de OCHOM que la superaba, pero presenta peores resultados que MREM de media. (Neurocomputing, 2004)



- Galán, G. & Muñoz, J. propusieron el modelo OCHOM. (IEEE. Trans. Neural Network,2001)
- Wang et al. desarrollaron una versión estocástica de OCHOM que la superaba, pero presenta peores resultados que MREM de media. (Neurocomputing, 2004)
- MREM con la dinámica best-2 es un modelo muy potente. (LSCS, 2004), (LNCS, 2005) & ESANN'06.



- Galán, G. & Muñoz, J. propusieron el modelo OCHOM. (IEEE. Trans. Neural Network,2001)
- Wang et al. desarrollaron una versión estocástica de OCHOM que la superaba, pero presenta peores resultados que MREM de media. (Neurocomputing, 2004)
- MREM con la dinámica best-2 es un modelo muy potente. (LSCS, 2004), (LNCS, 2005) & ESANN'06.
- OCHOM y el modelo de Wang son también buenos algoritmos.



#### Table of contents

- Introducción
- 2 El Modelo MREM Discreto
  - Implementación del Problema K-MaxCut.
  - Dinámica Best-2
- 3 El Modelo MREM Estocástico
  - Convergencia
- Resultados Experimentales
  - Ejemplos de Ejecución
  - Resultados de las Ejecuciones
- 5 Conclusiones y Trabajo Futuro
  - Conclusiones
  - Trabajo Futuro





• En este trabajo se ha mostrado el modelo MREM con la dinámica best-2.



- En este trabajo se ha mostrado el modelo MREM con la dinámica best-2.
- Se ha desarrollado una versión estocástica de MREM con la intención de ayudar a MREM a evitar ciertos mínimos locales de la función de energía.



- En este trabajo se ha mostrado el modelo MREM con la dinámica best-2.
- Se ha desarrollado una versión estocástica de MREM con la intención de ayudar a MREM a evitar ciertos mínimos locales de la función de energía.
- Se han probado las bases teóricas de sMREM para demostrar su convergencia a mínimos de la función objetivo.



- En este trabajo se ha mostrado el modelo MREM con la dinámica best-2.
- Se ha desarrollado una versión estocástica de MREM con la intención de ayudar a MREM a evitar ciertos mínimos locales de la función de energía.
- Se han probado las bases teóricas de sMREM para demostrar su convergencia a mínimos de la función objetivo.
- El modelo sMREM ha sido probado conjuntamente con MREM con el conocido problema MaxCut. Estos experimentos demuestran que en la mayoría de los casos, sMREM supera a MREM en resultados, usando más tiempo de cálculo.

#### Table of contents

- Introducción
- 2 El Modelo MREM Discreto
  - Implementación del Problema K-MaxCut.
  - Dinámica Best-2
- 3 El Modelo MREM Estocástico
  - Convergencia
- Resultados Experimentales
  - Ejemplos de Ejecución
  - Resultados de las Ejecuciones
- Conclusiones y Trabajo Futuro
  - Conclusiones
  - Trabajo Futuro





# Trabajo Futuro

• Debemos probar sMREM con otros problemas.



## Trabajo Futuro

- Debemos probar sMREM con otros problemas.
- Se pueden elegir otras funciones de probabilidad de aceptación que deben ser estudiadas.



## Trabajo Futuro

- Debemos probar sMREM con otros problemas.
- Se pueden elegir otras funciones de probabilidad de aceptación que deben ser estudiadas.
- Otras dinámicas (con otro esquema de entornos) para MREM y sMREM pueden obtener mejores resultados para este problema.

